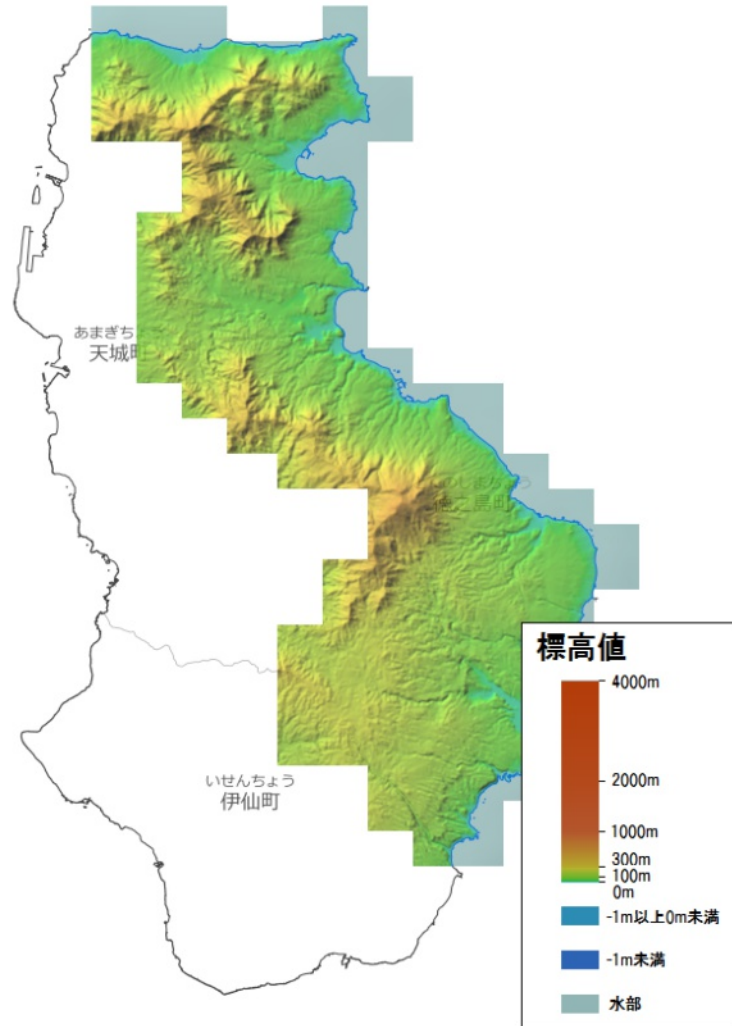


徳之島町



地形図 (徳之島町)

(出典)

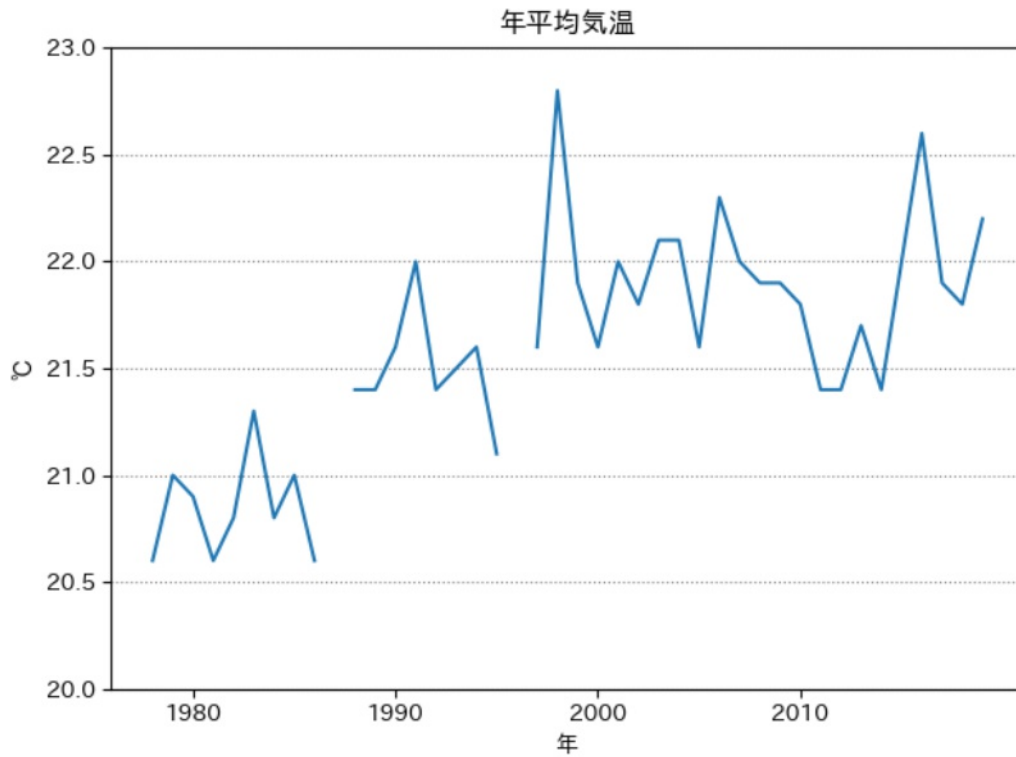
<https://maps.gsi.go.jp/development/ichiran.html#relief>

これまでの徳之島町の気候の変化

1.1.1 気温

(1) 年平均気温・最低気温・最高気温

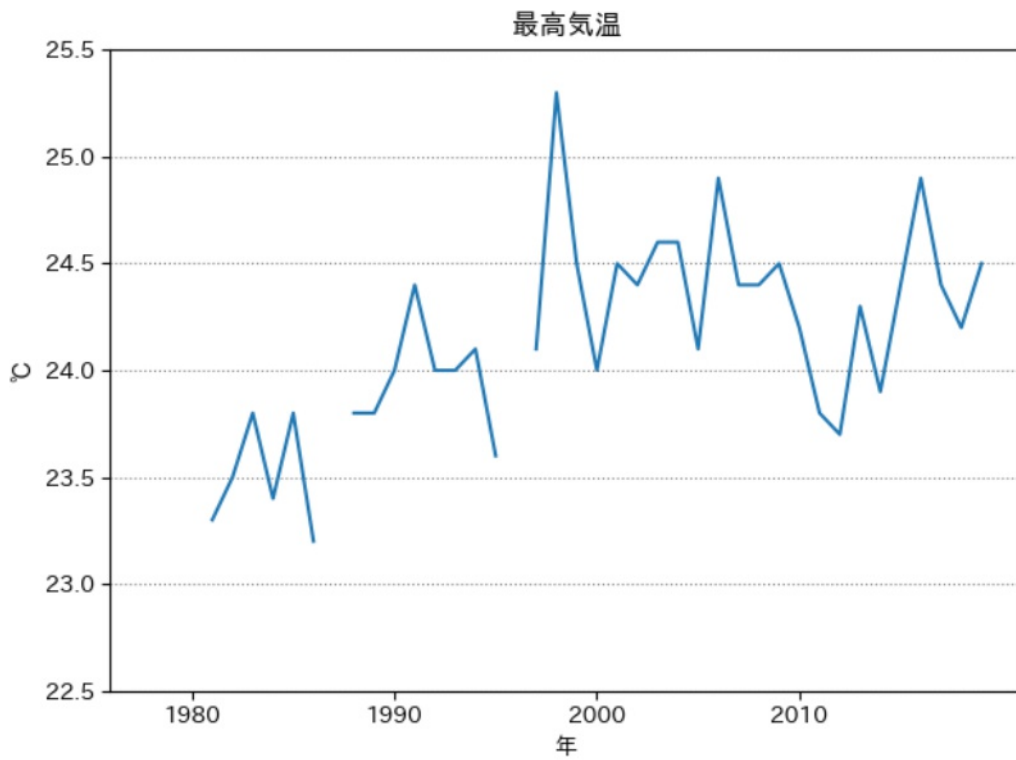
徳之島町の年平均、最低、最高気温は短期的な変動を繰り返しながら上昇しており、長期的には年平均気温において、100年あたり約3.1℃の割合で上昇しています(42年分の観測結果に基づき算出)。



年平均気温の推移 (伊仙)

(出典)

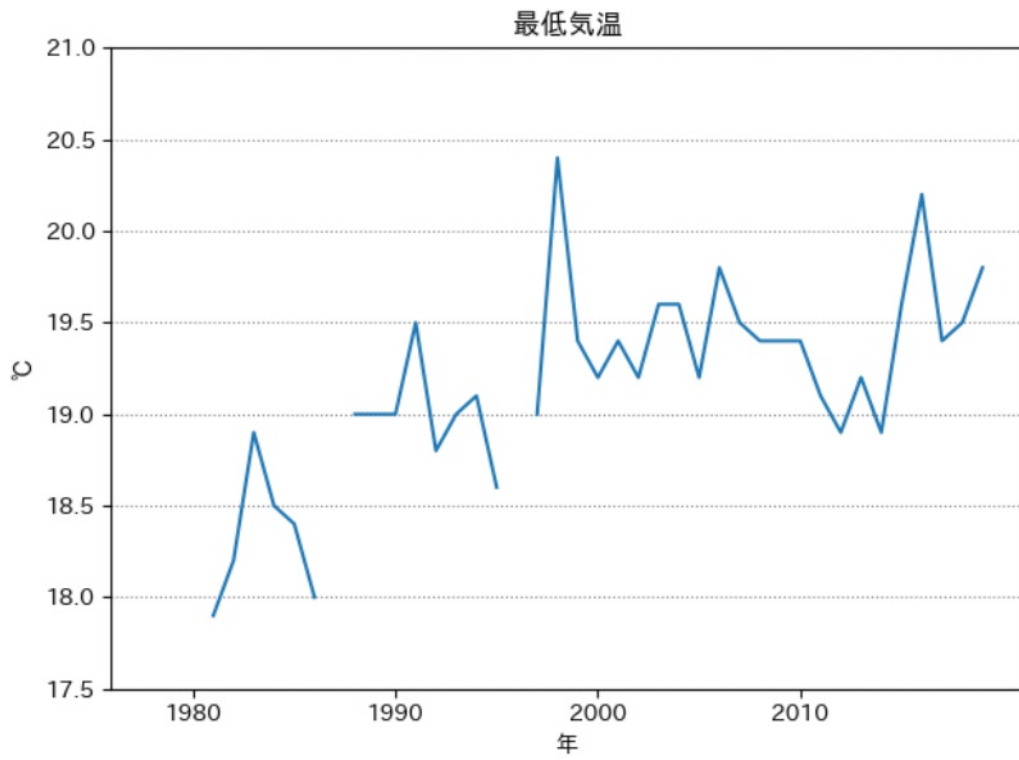
国立環境研究所による気象庁提供「過去の気象データ」の解析結果をもとに作成



日最高気温の年平均の推移 (伊仙)

(出典)

国立環境研究所による気象庁提供「過去の気象データ」の解析結果をもとに作成



日最低気温の年平均の推移 (伊仙)

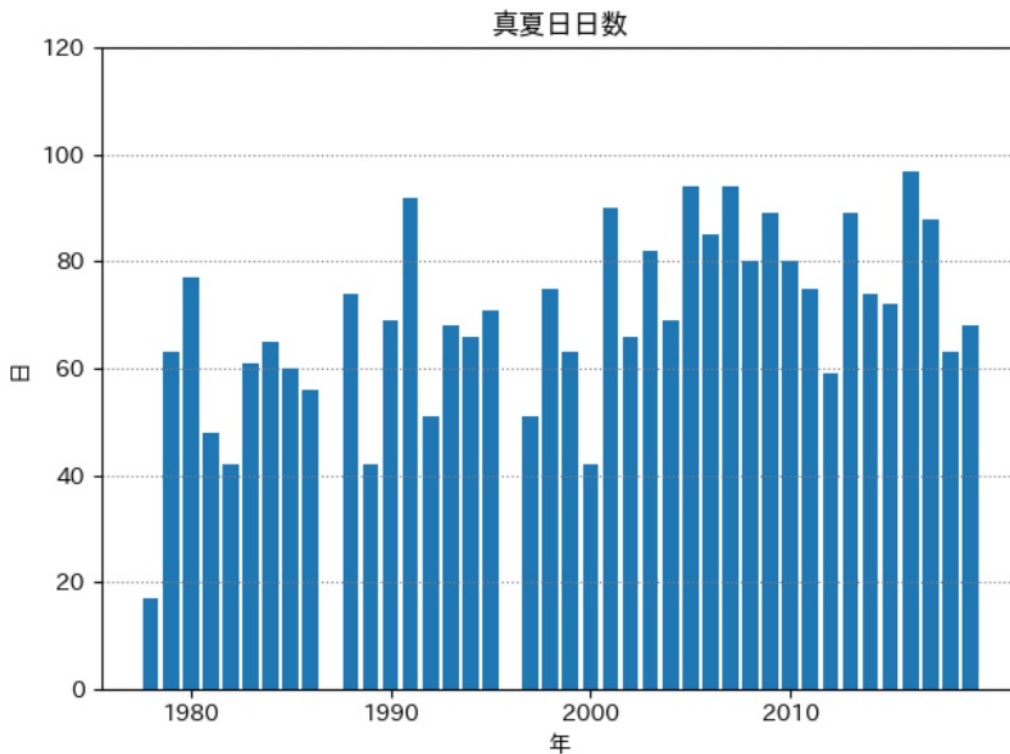
(出典)

国立環境研究所による気象庁提供「過去の気象データ」の解析結果をもとに作成

真夏日・猛暑日、冬日・真冬日

真夏日（日最高気温が30℃以上）の年間日数については、100年あたり約77.4日の割合で上昇しています(42年分の観測結果に基づき算出)。

猛暑日（日最高気温が35℃以上）の年間日数については、ほぼ変化なしとなっています(42年分の観測結果に基づき算出)。

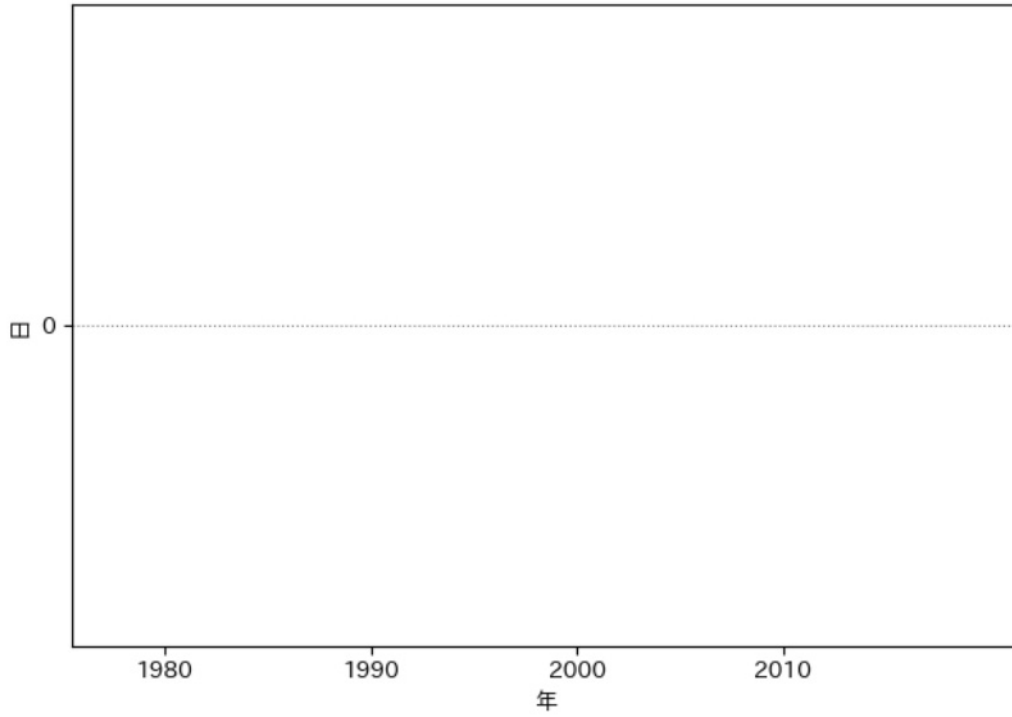


真夏日日数の推移 (伊仙)

(出典)

国立環境研究所による気象庁提供「過去の気象データ」の解析結果をもとに作成

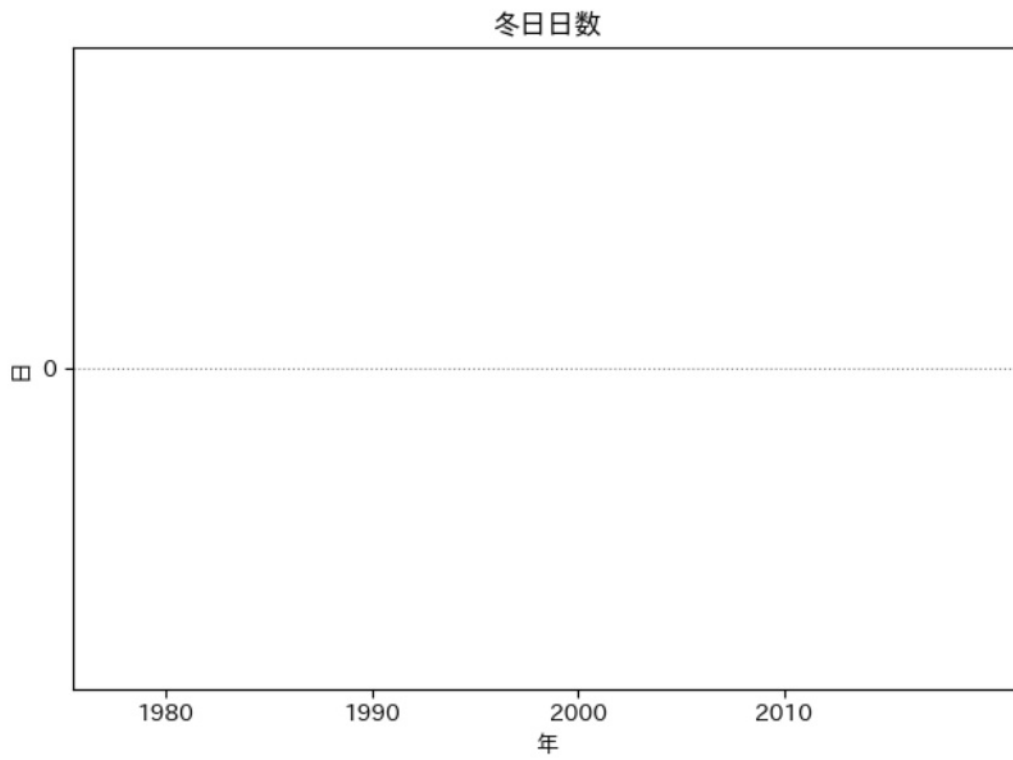
猛暑日回数



猛暑日回数の推移（伊仙）

(出典)

国立環境研究所による気象庁提供「過去の気象データ」の解析結果をもとに作成

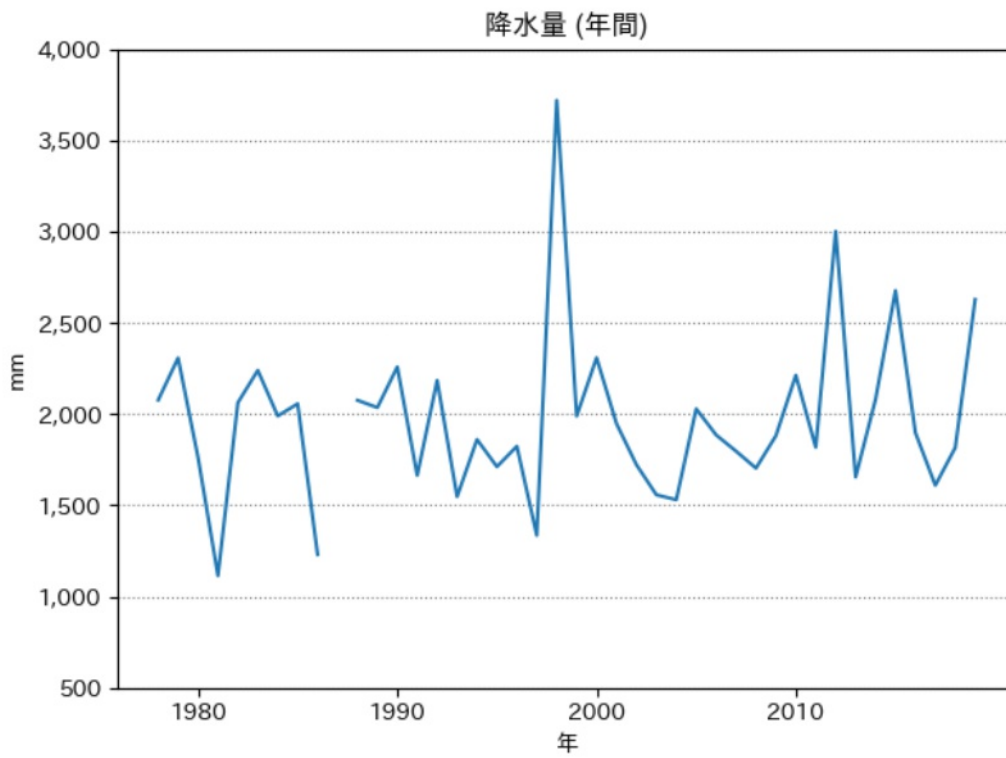


冬日日数の推移（伊仙）

(出典)

国立環境研究所による気象庁提供「過去の気象データ」の解析結果をもとに作成

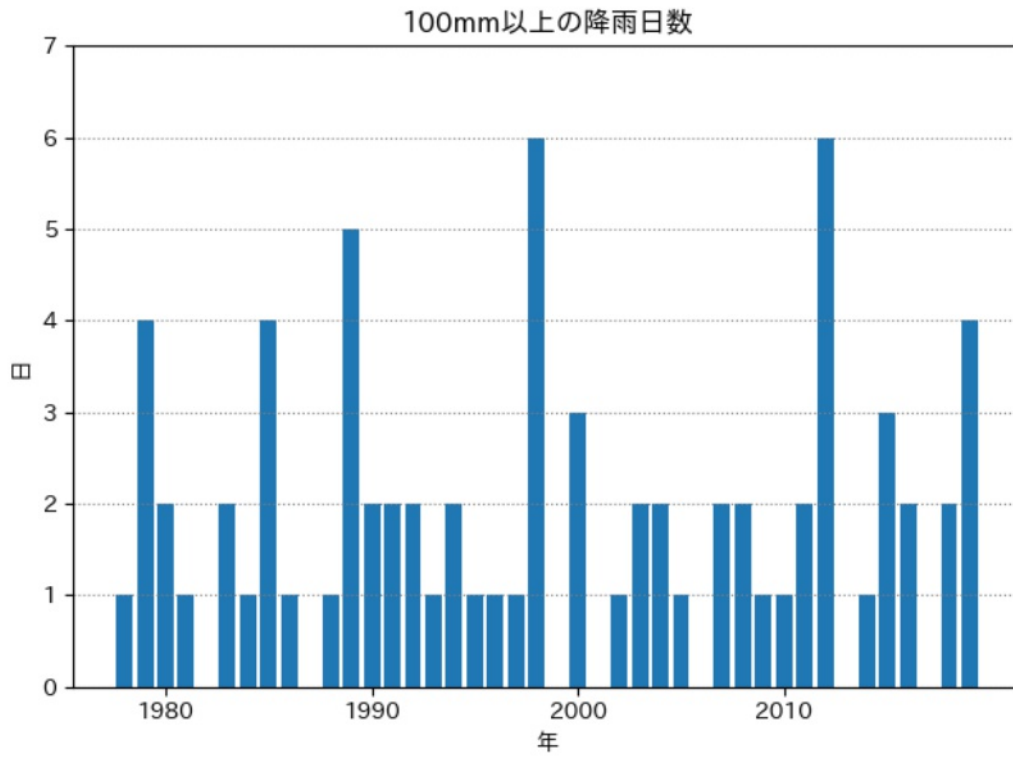
1.1.2 降水、降雪



年間降水量の推移 (伊仙)

(出典)

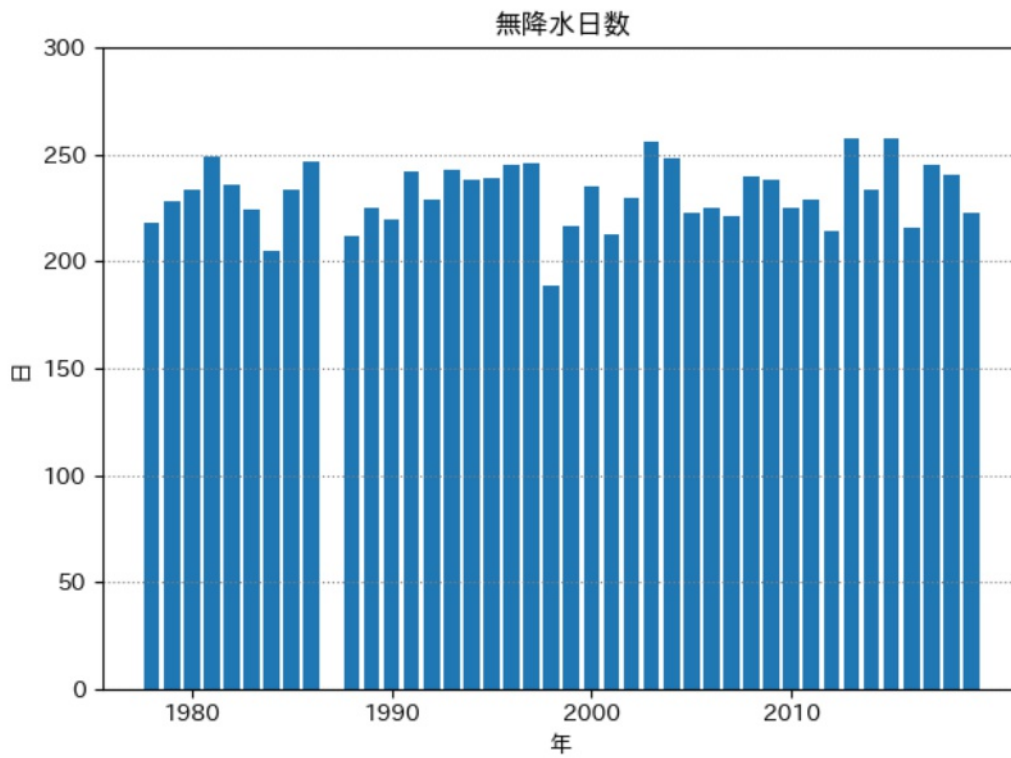
国立環境研究所による気象庁提供「過去の気象データ」の解析結果をもとに作成



100mm以上の降雨日数の推移（伊仙）

(出典)

国立環境研究所による気象庁提供「過去の気象データ」の解析結果をもとに作成



年間無降水日数の推移（伊仙）

（出典）

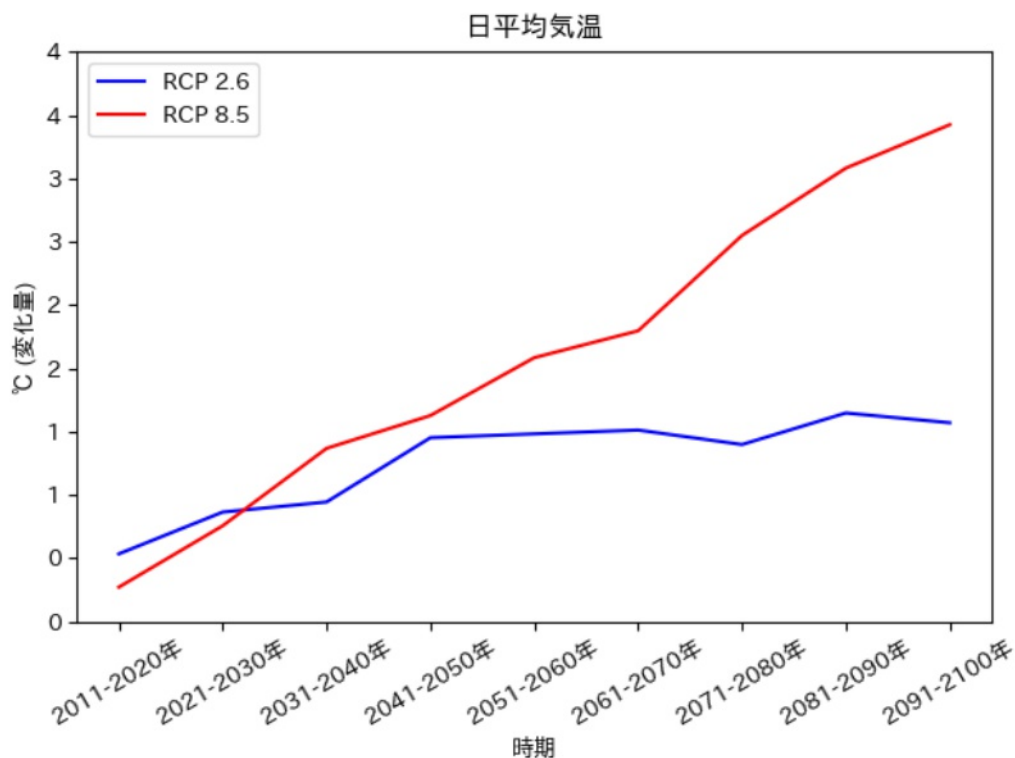
国立環境研究所による気象庁提供「過去の気象データ」の解析結果をもとに作成

将来の徳之島町の気候・気象の変化

1.1.3 気温

(1) 年平均気温

徳之島町では、厳しい温暖化対策をとらない場合(RCP8.5シナリオ)、21世紀末(2081年～2100年)には現在(1981年～2000年)よりも年平均気温が約3.9℃高くなると予測されています。パリ協定の「2℃目標」が達成された状況下であり得るシナリオ(RCP2.6シナリオ)では、21世紀末(2081年～2100年)には現在(1981年～2000年)よりも年平均気温が約1.6℃高くなると予測されています。



日平均気温の推移予測 (徳之島町)

(出典)

以下を基にした A-PLAT WebGISデータ

石崎 紀子 (2020). CMIP5 をベースにした CDFDM 手法による日本域バイアス補正気候シナリオデータ, Ver.201909, 国立環境研究所 地球環境研究センター, doi:10.17595/20200415.001.



RCP 2.6 2011-2020年



RCP 8.5 2011-2020年



RCP 2.6 2051-2060年



RCP 8.5 2051-2060年



RCP 2.6 2091-2100年



RCP 8.5 2091-2100年

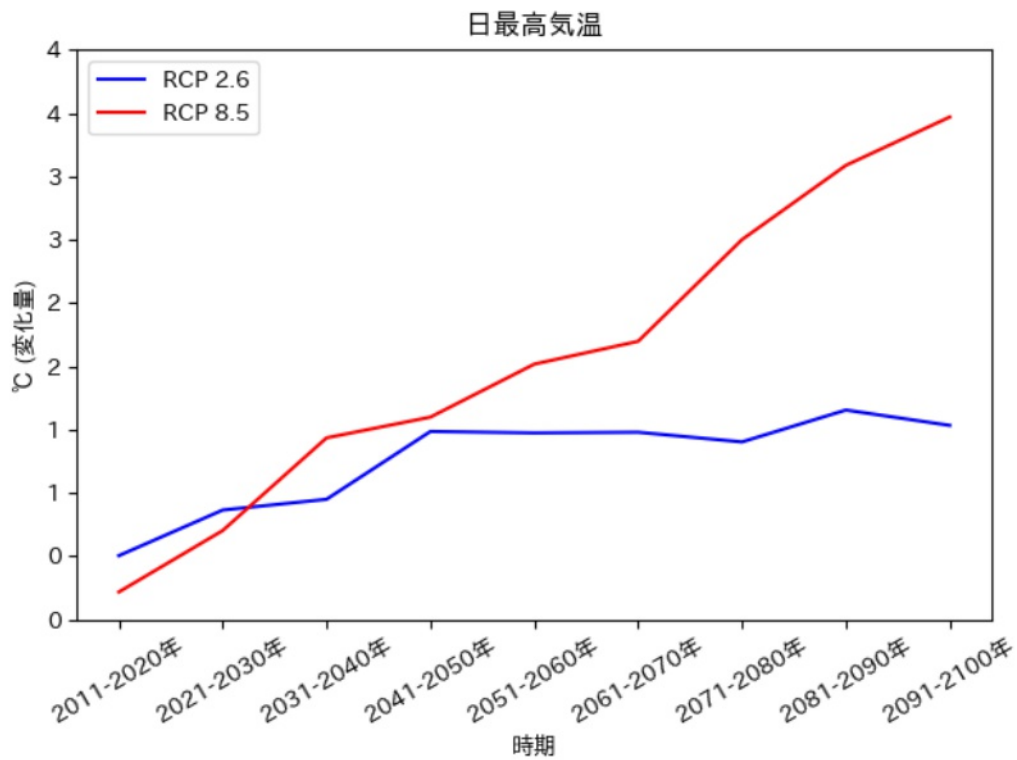


日平均気温 基準期間との差

(出典)

以下を基にした A-PLAT WebGISデータ

石崎 紀子 (2020). CMIP5 をベースにした CDFDM 手法による日本域バイアス補正気候シナリオデータ, Ver.201909, 国立環境研究所 地球環境研究センター, doi:10.17595/20200415.001.



日最高気温の推移予測（徳之島町）

(出典)

以下を基にした A-PLAT WebGISデータ

石崎 紀子 (2020). CMIP5 をベースにした CDFDM 手法による日本域バイアス補正気候シナリオデータ, Ver.201909, 国立環境研究所 地球環境研究センター, doi:10.17595/20200415.001.



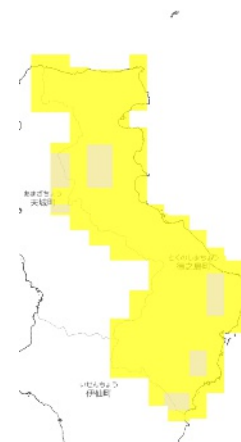
RCP 2.6 2011-2020年



RCP 8.5 2011-2020年



RCP 2.6 2051-2060年



RCP 8.5 2051-2060年



RCP 2.6 2091-2100年



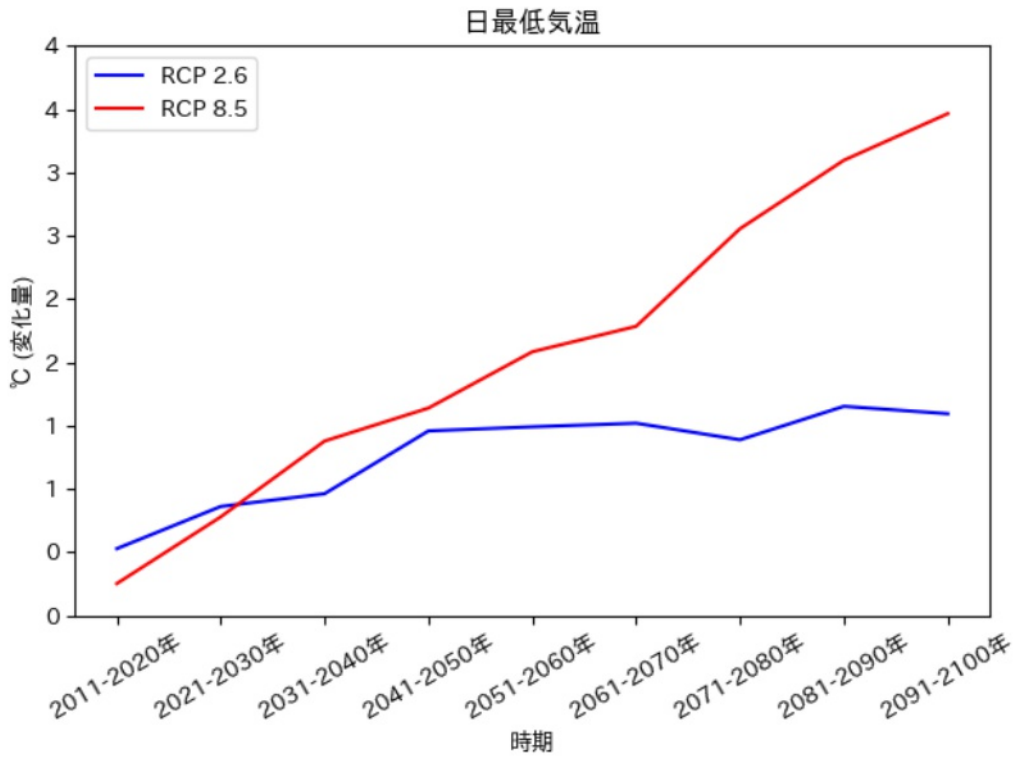
RCP 8.5 2091-2100年

日最高気温 基準期間との差

(出典)

以下を基にした A-PLAT WebGISデータ

石崎 紀子 (2020). CMIP5 をベースにした CDFDM 手法による日本域バイアス補正気候シナリオデータ, Ver.201909, 国立環境研究所 地球環境研究センター, doi:10.17595/20200415.001.



日最低気温の推移予測（徳之島町）

(出典)

以下を基にした A-PLAT WebGISデータ

石崎 紀子 (2020). CMIP5 をベースにした CDFDM 手法による日本域バイアス補正気候シナリオデータ, Ver.201909, 国立環境研究所 地球環境研究センター, doi:10.17595/20200415.001.



RCP 2.6 2011-2020年



RCP 8.5 2011-2020年



RCP 2.6 2051-2060年



RCP 8.5 2051-2060年



RCP 2.6 2091-2100年



RCP 8.5 2091-2100年

日最低気温 基準期間との差

(出典)

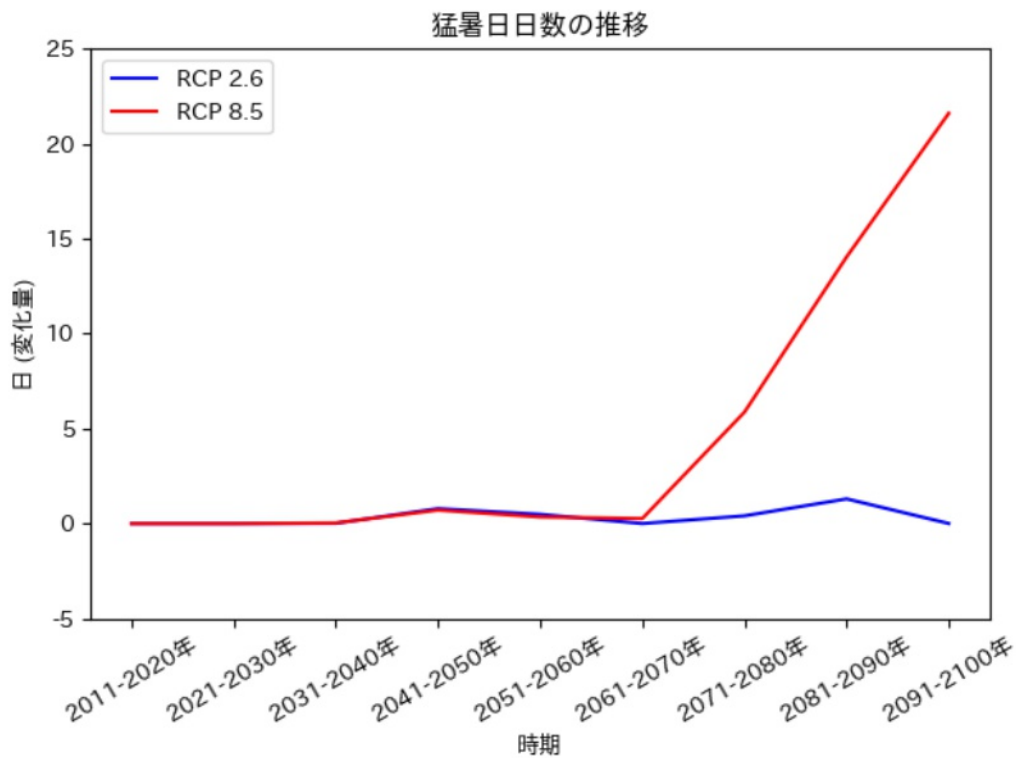
以下を基にした A-PLAT WebGISデータ

石崎 紀子 (2020). CMIP5 をベースにした CDFDM 手法による日本域バイアス補正気候シナリオデータ, Ver.201909, 国立環境研究所 地球環境研究センター, doi:10.17595/20200415.001.

真夏日・猛暑日、冬日・真冬日

徳之島町では、厳しい温暖化対策をとらない場合(RCP8.5シナリオ)、基準年(1981～2000年の平均)と比べ猛暑日が100年間で年間約18日増加、真夏日が約79日増加すると予測されています。パリ協定の「2℃目標」が達成された状況下であり得るシナリオ(RCP2.6シナリオ)では、猛暑日が100年間で年間約1日増加、真夏日が約30日増加すると予測されています。

※ 100年後の値は2081～2090、2091～2100年の平均を用いています。



猛暑日の推移予測 (徳之島町)

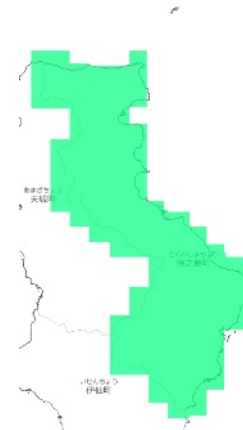
(出典)

以下を基にした A-PLAT WebGISデータ

石崎 紀子 (2020). CMIP5 をベースにした CDFDM 手法による日本域バイアス補正気候シナリオデータ, Ver.201909, 国立環境研究所 地球環境研究センター, doi:10.17595/20200415.001.



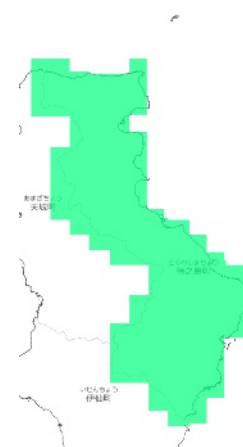
RCP 2.6 2011-2020年



RCP 8.5 2011-2020年



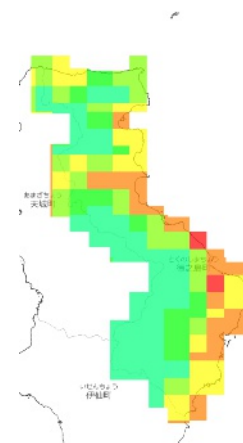
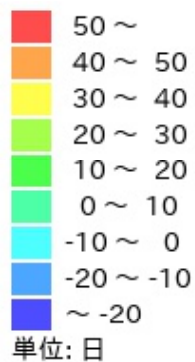
RCP 2.6 2051-2060年



RCP 8.5 2051-2060年



RCP 2.6 2091-2100年



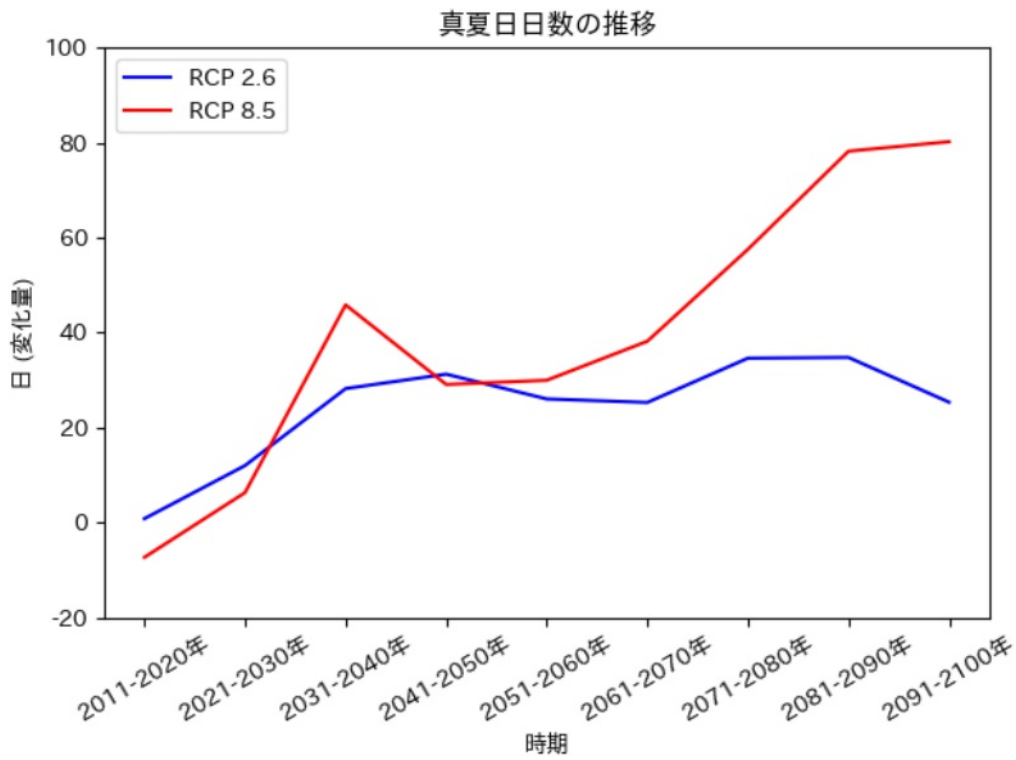
RCP 8.5 2091-2100年

猛暑日 基準期間との差

(出典)

以下を基にした A-PLAT WebGISデータ

石崎 紀子 (2020). CMIP5 をベースにした CDFDM 手法による日本域バイアス補正気候シナリオデータ, Ver.201909, 国立環境研究所 地球環境研究センター, doi:10.17595/20200415.001.



真夏日の推移予測 (徳之島町)

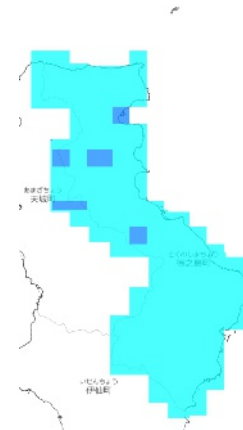
(出典)

以下を基にした A-PLAT WebGISデータ

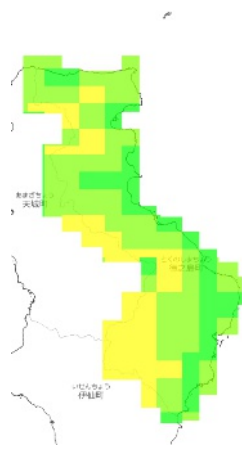
石崎 紀子 (2020). CMIP5 をベースにした CDFDM 手法による日本域バイアス補正気候シナリオデータ, Ver.201909, 国立環境研究所 地球環境研究センター, doi:10.17595/20200415.001.



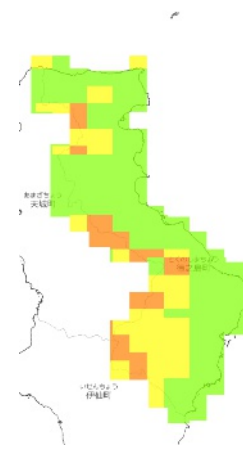
RCP 2.6 2011-2020年



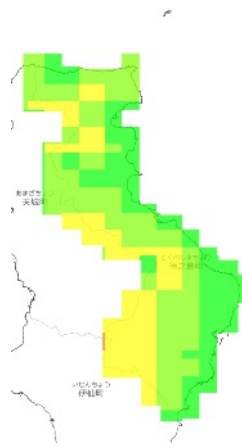
RCP 8.5 2011-2020年



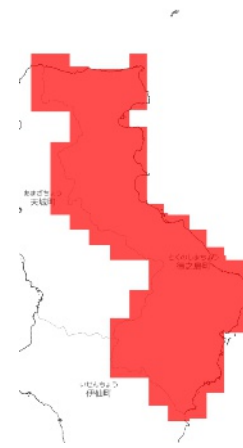
RCP 2.6 2051-2060年



RCP 8.5 2051-2060年



RCP 2.6 2091-2100年



RCP 8.5 2091-2100年

真夏日 基準期間との差

(出典)

以下を基にした A-PLAT WebGISデータ

石崎 紀子 (2020). CMIP5 をベースにした CDFDM 手法による日本域バイアス補正気候シナリオデータ, Ver.201909, 国立環境研究所 地球環境研究センター, doi:10.17595/20200415.001.

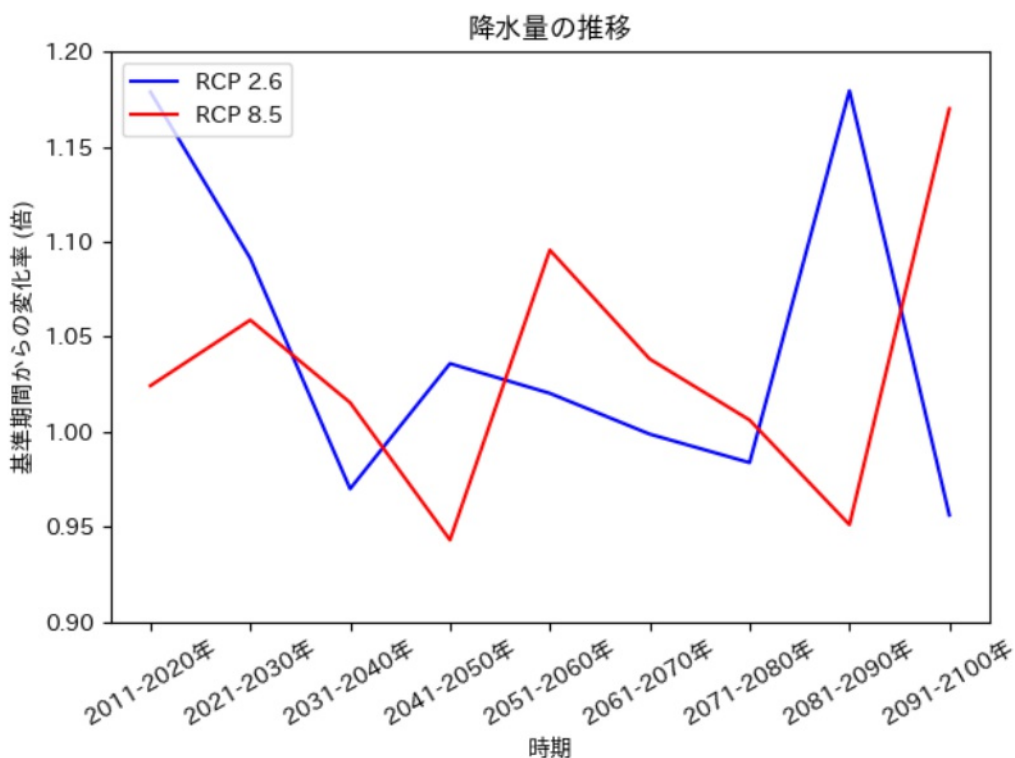
1.1.4 降水、降雪

徳之島町では、厳しい温暖化対策をとらない場合(RCP8.5シナリオ)、21世紀末(2081年~2100年)には現在(1981年~2000年)よりも降水量が年間約17%増加、無降水日数が約5日増加すると予測されています。また、降雪量はほぼ変化しないと予測されています。パリ協定の「2℃目標」が達成された状況下であり得るシナリオ(RCP2.6シナリオ)では、降水量は約4%減少、無降水日数は約9日増加すると予測されています。また、降雪量はほぼ変化しないと予測されています。

(出典)

以下を基にした A-PLAT WebGISデータ

石崎 紀子 (2020). CMIP5 をベースにした CDFDM 手法による日本域バイアス補正気候シナリオデータ, Ver.201909, 国立環境研究所 地球環境研究センター, doi:10.17595/20200415.001.



降水量の推移予測 (徳之島町)

(出典)

以下を基にした A-PLAT WebGISデータ

石崎 紀子 (2020). CMIP5 をベースにした CDFDM 手法による日本域バイアス補正気候シナリオデータ, Ver.201909, 国立環境研究所 地球環境研究センター, doi:10.17595/20200415.001.



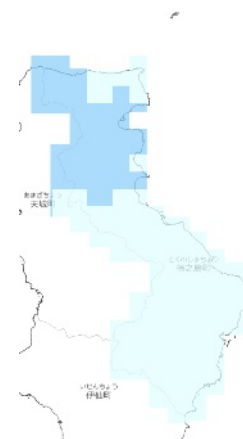
RCP 2.6 2011-2020年



RCP 8.5 2011-2020年



RCP 2.6 2051-2060年



RCP 8.5 2051-2060年



RCP 2.6 2091-2100年



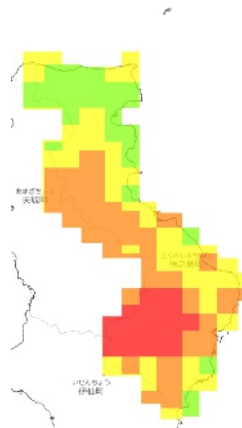
RCP 8.5 2091-2100年

降水量 基準期間との差

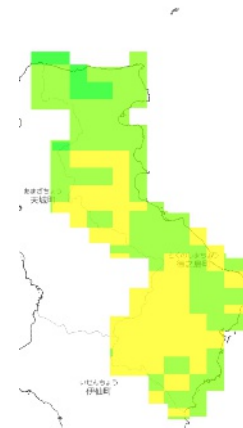
(出典)

以下を基にした A-PLAT WebGISデータ

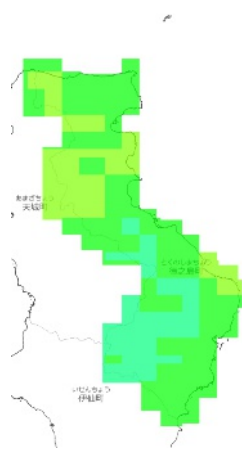
石崎 紀子 (2020). CMIP5 をベースにした CDFDM 手法による日本域バイアス補正気候シナリオデータ, Ver.201909, 国立環境研究所 地球環境研究センター, doi:10.17595/20200415.001.



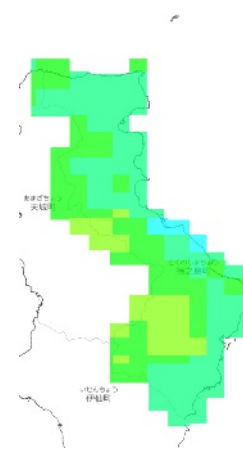
RCP 2.6 2011-2020年



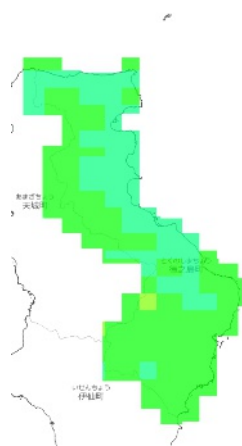
RCP 8.5 2011-2020年



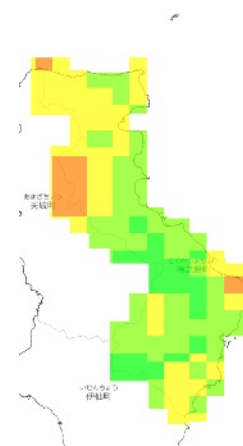
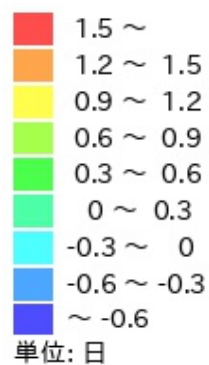
RCP 2.6 2051-2060年



RCP 8.5 2051-2060年



RCP 2.6 2091-2100年



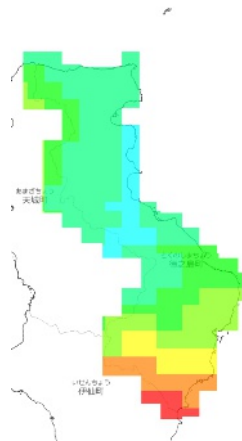
RCP 8.5 2091-2100年

日降水量100mm以上の日数 基準期間との差

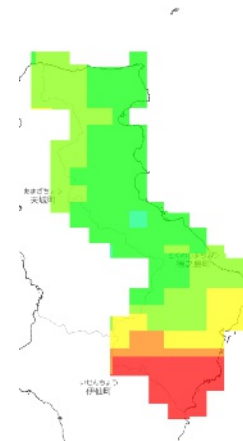
(出典)

以下を基にした A-PLAT WebGISデータ

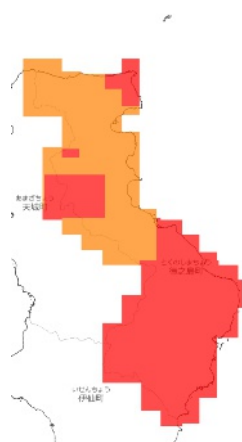
石崎 紀子 (2020). CMIP5 をベースにした CDFDM 手法による日本域バイアス補正気候シナリオデータ, Ver.201909, 国立環境研究所 地球環境研究センター, doi:10.17595/20200415.001.



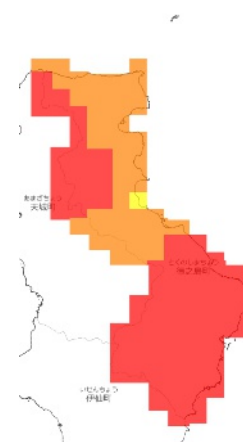
RCP 2.6 2011-2020年



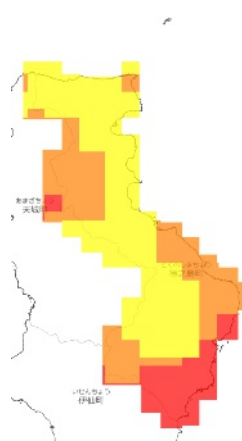
RCP 8.5 2011-2020年



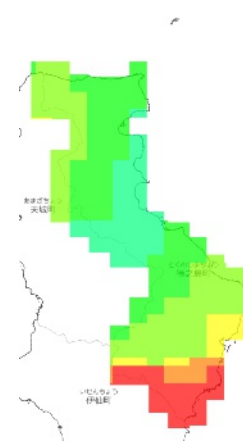
RCP 2.6 2051-2060年



RCP 8.5 2051-2060年



RCP 2.6 2091-2100年



RCP 8.5 2091-2100年

無降水日数 基準期間との差

(出典)

以下を基にした A-PLAT WebGISデータ

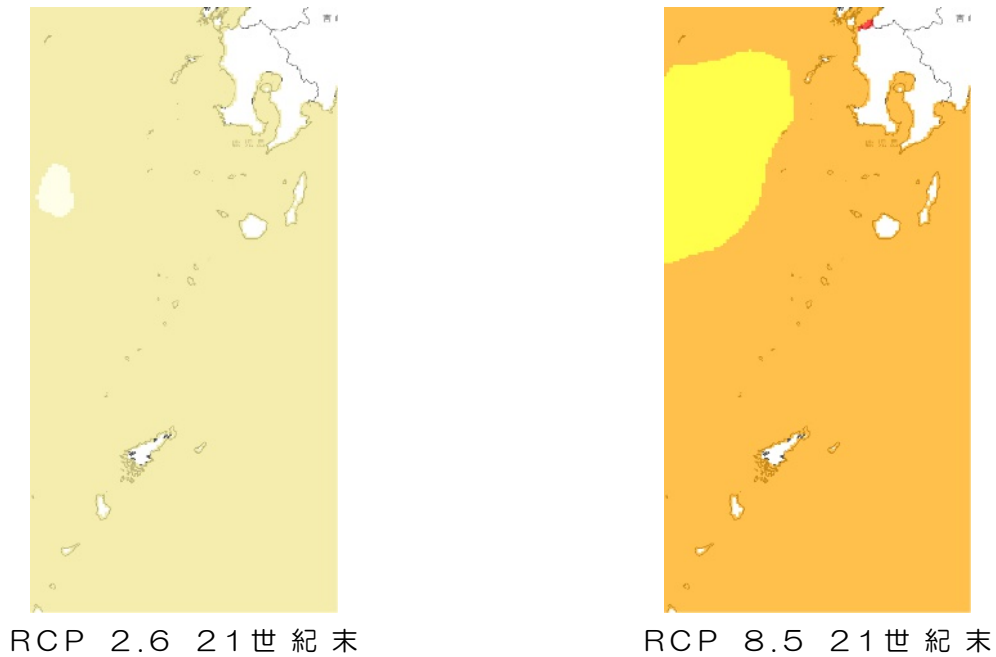
石崎 紀子 (2020). CMIP5 をベースにした CDFDM 手法による日本域バイアス補正気候シナリオデータ, Ver.201909, 国立環境研究所 地球環境研究センター, doi:10.17595/20200415.001.

1.1.5 海水温

日本近海における2019年までのおよそ100年間にわたる上昇率は、 $+1.14^{\circ}\text{C}/100\text{年}$ となっており(信頼水準 99%で統計的に有意)、世界平均の上昇率($+0.55^{\circ}\text{C}/100\text{年}$)よりも大きく、日本の気温の上昇率($+1.24^{\circ}\text{C}/100\text{年}$)と同程度の値となっています。

(出典)

日本の気候変動2020



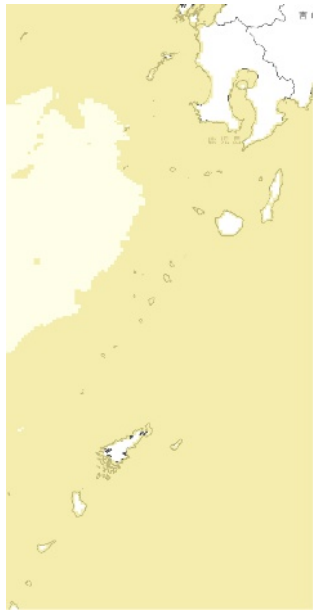
海面水温(年平均)基準期間との差



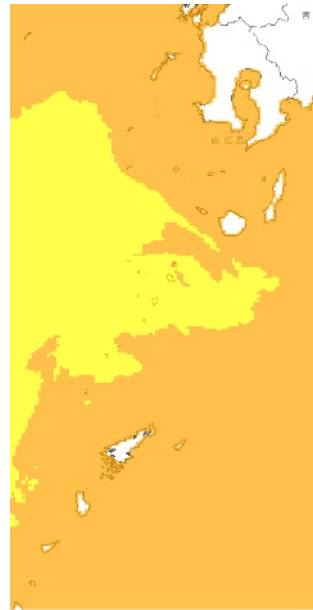
海面水温(年平均)基準期間との差 凡例

(出典)

Nishikawa et al. (2021), Development of high-resolution future ocean regional projection datasets for coastal applications in Japan. Progress in Earth and Planetary Science, 8:7, <https://doi.org/10.1186/s40645-020-00399-z>



RCP 2.6 21世紀末



RCP 8.5 21世紀末

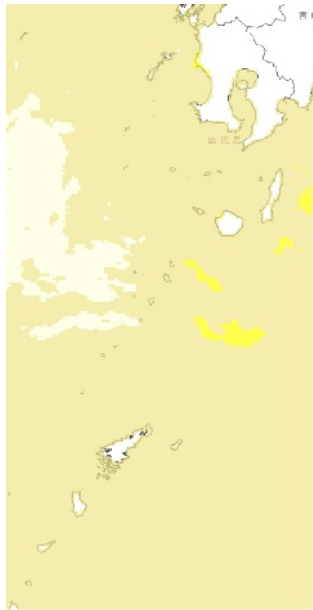
海面水温（年最高）基準期間との差



海面水温（年最高）基準期間との差 凡例

(出典)

Nishikawa et al. (2021), Development of high-resolution future ocean regional projection datasets for coastal applications in Japan. Progress in Earth and Planetary Science, 8:7, <https://doi.org/10.1186/s40645-020-00399-z>



RCP 2.6 21世紀末



RCP 8.5 21世紀末

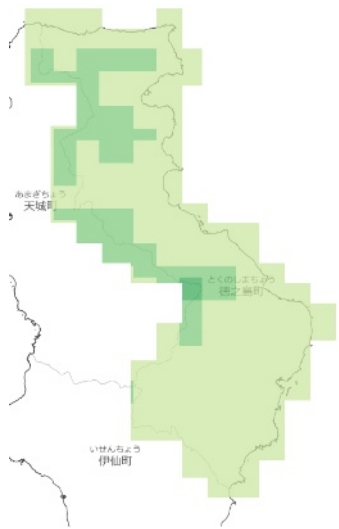
海面水温（年最低）基準期間との差



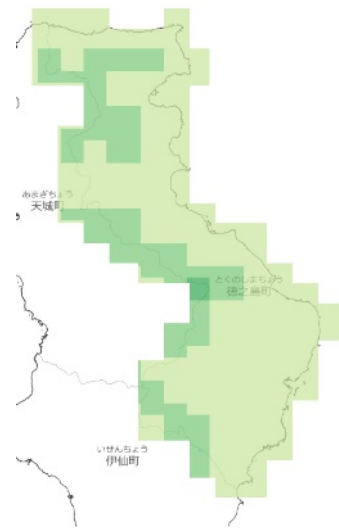
海面水温（年最低）基準期間との差 凡例

(出典)

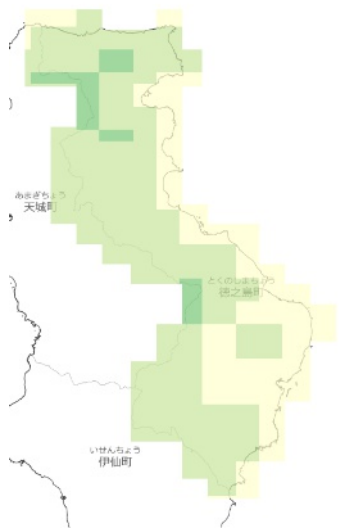
Nishikawa et al. (2021), Development of high-resolution future ocean regional projection datasets for coastal applications in Japan. Progress in Earth and Planetary Science, 8:7, <https://doi.org/10.1186/s40645-020-00399-z>



RCP 2.6 21世紀半ば



RCP 8.5 21世紀半ば

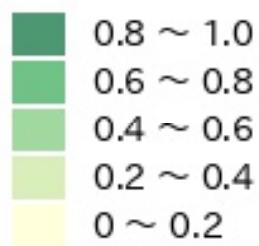


RCP 2.6 21世紀末



RCP 8.5 21世紀末

竹林の分布可能域



単位: 確率

竹林 凡例

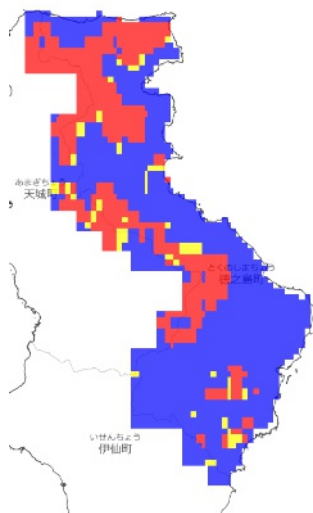
(出典)

<https://adaptation-platform.nies.go.jp/conso/report/O-6.html>

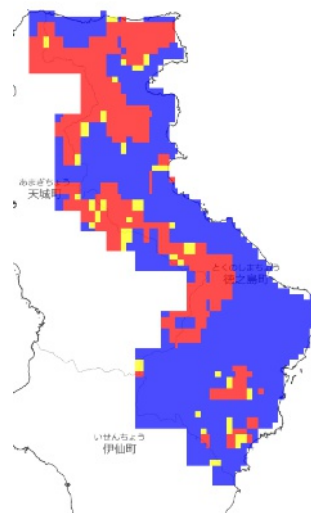
(2) 山地

① 土石流・地すべり等

極端に降雨強度の大きい豪雨が今後増加する場合、被害の拡大が想定されます。
土石流・地すべり等について、将来予測される影響を記載します。

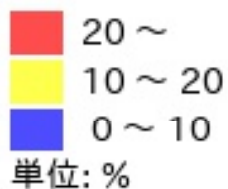


RCP 2.6 2081-2100年



RCP 8.5 2081-2100年

斜面崩壊発生確率



斜面崩壊発生確率 凡例

(出典)

https://www.restec.or.jp/si-cat/_public/202003/SI-CAT%E6%88%90%E6%9E%9C%E9%9B%86%E5%8E%9F%E7%A8%BF%E9%9B%86_%E3%83%95%E3%83%AB_20200302.pdf#page=42



RCP 2.6 21世紀半ば



RCP 8.5 21世紀半ば



RCP 2.6 21世紀末



RCP 8.5 21世紀末

熱中症搬送者数



単位: 倍

熱中症搬送者数 凡例

(出典)

https://www.nies.go.jp/s8_project/symposium/20141110_s8br.pdf#page=12



RCP 2.6 21世紀半ば



RCP 8.5 21世紀半ば



RCP 2.6 21世紀末



RCP 8.5 21世紀末

熱ストレス超過死亡数



単位: 倍

熱ストレス超過死亡数 凡例

(出典)

https://www.nies.go.jp/s8_project/symposium/20141110_s8br.pdf#page=12